

# LAN/WLAN 集成网络的可靠性评估及预测研究

王丽<sup>1</sup>, 王晓凯<sup>2</sup>

WANG Li<sup>1</sup>, WANG Xiao-kai<sup>2</sup>

1.晋中学院 物理电子工程学院,山西 晋中 030600

2.太原高新技术产业开发区 博士后科研工作站,太原 030006

1. Department of Physical Electronics Engineering, Jinzhong College, Jinzhong, Shanxi 030600, China

2. Post-doctorate Scientific Research Workstation of Taiyuan High-tech Industry Development Zone, Taiyuan 030006, China

E-mail: 88wzl66@163.com

**WANG Li, WANG Xiao-kai. Reliability appraisal and forecast research of LAN/WLAN integration network. Computer Engineering and Applications, 2010, 46(4):95–97.**

**Abstract:** This article takes LAN/WLAN integration network as an example. Firstly, the definition of network reliability has been given based on the service performance and entropy weight double-base method has been carried on the reliable appraisal; Then a reliability forecast model has been established with one kind of improved PSO-BP fusion algorithm; Finally three experiments have been designed by the reliability appraisal data, the simulation result has indicated the superiority in the aspect of reliability forecast precision.

**Key words:** LAN/WLAN integration network; reliability; appraisal; forecast

**摘要:**以 LAN/WLAN 集成网络为例,首先从业务性能的角度给出了网络可靠性的定义,并基于此定义利用熵权双基法对其进行可靠性评估;然后利用一种新的改进 PSO-BP 融合算法建立了可靠性预测模型,并以可靠性评估数据为样本设计了三组实验,仿真结果证明了该模型在网络可靠性预测精度方面的优越性。

**关键词:** LAN/WLAN 集成网络; 可靠性; 评估; 预测

**DOI:** 10.3778/j.issn.1002-8331.2010.04.030   **文章编号:** 1002-8331(2010)04-0095-03   **文献标识码:** A   **中图分类号:** TP301.6

在通信网络日趋复杂、综合的情况下,其可靠性研究已经成为网络管理领域必要进行的课题。目前对网络可靠性仍没有一个统一的定义,已有的研究也只是从不同的侧面进行<sup>[1-4]</sup>。有线/无线局域网(LAN/WLAN)集成网络近年来广泛应用于社会和生活各个领域,其具有网络规模可扩缩性、移动性、节点多样性、拓扑结构多变性等特点,可以模拟抗震救灾、军事通信等网络,具有一定的代表性。因此针对 LAN/WLAN 集成网络,利用熵权双基法对其进行可靠性评估,并利用改进 PSO-BP 混合算法建立了网络可靠性的预测模型。

## 1 LAN/WLAN 集成网络可靠性评估

LAN/WLAN 集成网络的状态参数利用测试软件 IxChariot 6.0 进行在线实时测试。网络拓扑如图 1 所示,其中 IP 地址为 202.207.214.117 的终端作为主控制台 Chariot Console。测得网络状态和性能参数见表 1。

对于终端用户来说,LAN/WLAN 网络应用中最关心的就是网速问题,系统对用户请求的响应速度决定了用户对网络性能的评价;从整个 LAN/WLAN 系统实际运行的角度来说,好的性能、较高的可靠性意味着能够让尽可能多的终端用户在任意

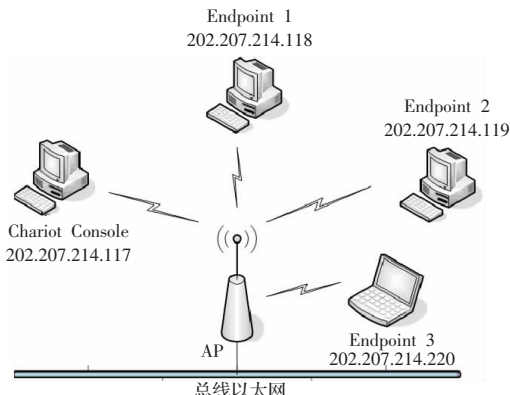


图 1 LAN/WLAN 集成网络拓扑结构

时刻都拥有最好的体验,这就要确保系统能够在同一时间内处理更多的用户请求(即吞吐量),而网络的吞吐量、响应时间以及资源利用率之间存在着一个“此消彼长”的关系。因此,从网络业务性能来讲,“可靠性”是一个整体的概念,是系统的吞吐量、响应时间等因素之间的平衡,故 LAN/WLAN 可靠性定义为:LAN/WLAN 在实际连续运行过程中,在不同的拓扑环境下完成用户的正常通信需求的能力。基于此定义,将吞吐量和响

基金项目:山西省自然科学基金(the Natural Science Foundation of Shanxi Province of China under Grant No.20051033)。

作者简介:王丽(1982-),女,助教,研究方向为通信网络的可靠性;王晓凯(1963-),男,教授,硕士生导师,研究方向为通信网络的管理、控制与优化。

收稿日期:2008-08-07 修回日期:2008-10-27

应时间作为评价指标,利用熵权双基法<sup>[5]</sup>计算网络可靠性的数学度量——可靠度。

熵权是根据各指标所包含的信息量的大小来确定指标相对重要度(即权重)的客观赋权方法,其基本原理是:对于给定的 $j$ ,当 $i$ 取不同的值时, $b_{ij}$ 的差异越大,则该项指标包含和传输的信息越多。信息量的增加意味着熵的减少,因此,用熵来度量这种信息量的大小。指标元素按式(1)归一化处理为 $b_{ij}$ ,从而得到矩阵 $B$ ,其中吞吐量为效益型指标,响应时间为成本型指标。

$$b_{ij} = \frac{a_{ij} - \min a_{ij}}{\max a_{ij} - \min a_{ij}} \quad (\text{效益型指标})$$

$$b_{ij} = \frac{\max b_{ij} - a_{ij}}{\max a_{ij} - \min a_{ij}} \quad (\text{成本型指标}) \quad (1)$$

$$B = [b_{ij}] = \begin{bmatrix} b_{11} & b_{12} \\ b_{21} & b_{22} \\ \vdots & \vdots \\ b_{261} & b_{262} \end{bmatrix} = \hat{T}_i = \begin{bmatrix} 1.0000 & 1.0000 \\ 0.9463 & 0.6899 \\ 0.6560 & 0.7442 \\ 0.3742 & 0.6705 \\ 0.4396 & 0.8605 \\ 0 & 0 \\ 0.7315 & 0.8450 \\ 0.7030 & 0.7984 \\ 0.4111 & 0.7829 \\ 0.9597 & 0.7519 \\ 0.3188 & 0.4690 \\ 0.7634 & 0.1550 \\ 0.7148 & 0.8566 \\ 0.1577 & 0.0698 \\ 0.9329 & 0.6357 \\ 0.7349 & 0.9380 \\ 0.7433 & 0.7522 \\ 0.4044 & 0.8140 \\ 0.6795 & 0.7597 \\ 0.3993 & 0.7907 \\ 0.9883 & 0.9147 \\ 0.7534 & 0.9496 \\ 0.7030 & 0.8217 \\ 0.6913 & 0.7326 \\ 0.4530 & 0.7868 \\ 0.4128 & 0.7858 \end{bmatrix} \begin{bmatrix} 1.0000 \\ 0.4388 \\ 0.2349 \\ 0.1113 \\ 0.1909 \\ 0 \\ 0.3761 \\ 0.3034 \\ 0.1515 \\ 0.5794 \\ 0.0656 \\ 0.0815 \\ 0.3712 \\ 0.0127 \\ 0.3545 \\ 0.5227 \\ 0.3162 \\ 0.1599 \\ 0.2582 \\ 0.1504 \\ 0.8157 \\ 0.5869 \\ 0.3239 \\ 0.2480 \\ 0.1665 \\ 0.1534 \end{bmatrix}$$

两个评价指标的熵值分别为:

$$e_1 = -\sum_{i=1}^{26} \left( \frac{b_{1i}}{b_{1i} + b_{2i}} \right) \cdot \log \left( \frac{b_{1i}}{b_{1i} + b_{2i}} \right) = 3.7082$$

$$e_2 = -\sum_{i=1}^{26} \left( \frac{b_{2i}}{b_{1i} + b_{2i}} \right) \cdot \log \left( \frac{b_{2i}}{b_{1i} + b_{2i}} \right) = 3.4969$$

表征指标权重的熵为:

$$E_1 = \frac{e_1}{\log 26} = 2.6207 \quad E_2 = \frac{e_2}{\log 26} = 2.4714$$

根据熵的性质知: $E_j$ 越大,指标的相对重要度 $W_j$ 越小。经计算得各指标权重为:

$$W_1 = \frac{\frac{1}{E_1}}{\frac{1}{E_1} + \frac{1}{E_2}} = 0.4854 \quad W_2 = \frac{\frac{1}{E_2}}{\frac{1}{E_1} + \frac{1}{E_2}} = 0.5146$$

双基序列是指理想的最佳可靠性指标序列(理想序列)和理想的最差可靠性指标序列(反理想序列)。令:

$$b_{nj} = \max(b_{1j}, b_{2j}, \dots, b_{nj}), j=1, 2, \dots, m$$

表 1 样本集

| 样本序号 | 网络状态参数 |     |         |       | 性能     |       |
|------|--------|-----|---------|-------|--------|-------|
|      | 节点数    | 链路数 | 端到端时延/s | 链路可靠度 | 响应时间/s | 吞吐量   |
| 1    | 2      | 1   | 14.782  | 0.968 | 0.148  | 5.389 |
| 2    | 2      | 1   | 17.882  | 0.964 | 0.179  | 4.452 |
| 3    | 3      | 2   | 33.763  | 0.964 | 0.342  | 4.617 |
| 4    | 4      | 3   | 42.785  | 0.971 | 0.501  | 4.400 |
| 5    | 4      | 3   | 44.467  | 0.973 | 0.464  | 4.970 |
| 6    | 3      | 2   | 54.308  | 0.955 | 0.712  | 2.363 |
| 7    | 3      | 2   | 27.627  | 0.977 | 0.300  | 4.924 |
| 8    | 3      | 2   | 29.924  | 0.965 | 0.316  | 4.781 |
| 9    | 4      | 3   | 43.332  | 0.967 | 0.480  | 4.737 |
| 10   | 2      | 1   | 17.093  | 0.986 | 0.171  | 4.646 |
| 11   | 4      | 3   | 45.577  | 0.963 | 0.532  | 3.785 |
| 12   | 2      | 1   | 28.160  | 0.960 | 0.282  | 2.836 |
| 13   | 3      | 2   | 29.609  | 0.975 | 0.309  | 4.951 |
| 14   | 3      | 2   | 56.393  | 0.966 | 0.623  | 2.580 |
| 15   | 2      | 1   | 18.603  | 0.980 | 0.186  | 4.286 |
| 16   | 3      | 2   | 29.031  | 0.968 | 0.298  | 5.206 |
| 17   | 3      | 2   | 24.725  | 0.970 | 0.293  | 4.707 |
| 18   | 4      | 3   | 46.464  | 0.965 | 0.484  | 4.831 |
| 19   | 3      | 2   | 31.667  | 0.972 | 0.329  | 4.665 |
| 20   | 4      | 3   | 46.326  | 0.969 | 0.487  | 4.763 |
| 21   | 2      | 1   | 15.484  | 0.950 | 0.155  | 5.129 |
| 22   | 3      | 2   | 26.878  | 0.957 | 0.287  | 5.234 |
| 23   | 3      | 2   | 30.290  | 0.974 | 0.316  | 4.856 |
| 24   | 3      | 2   | 29.535  | 0.973 | 0.322  | 4.580 |
| 25   | 4      | 3   | 42.857  | 0.971 | 0.457  | 4.746 |
| 26   | 4      | 3   | 44.697  | 0.965 | 0.479  | 4.745 |

$$b_{nj} = \min(b_{1j}, b_{2j}, \dots, b_{nj}), j=1, 2, \dots, m$$

其中, $b_{nj}$ 是指标 $j$ 下 $n$ 个待评价对象的最大值,所以 $p^+ = (b_{1+}, b_{2+}, \dots, b_{m+})$ 即为理想序列;同理, $p^- = (b_{-1}, b_{-2}, \dots, b_{-m})$ 为反理想序列。由海明距离公式得评价指标与双基序列的距离:

$$d_i^- = \sum_{j=1}^m W_j \sqrt{(b_{ij} - b_{nj})^2} = \sum_{j=1}^m W_j b_{nj}, i=1, 2, \dots, 26 \quad (2)$$

$$d_i^+ = \sum_{j=1}^m W_j \sqrt{(b_{ij} - b_{nj})^2} = \sum_{j=1}^m W_j (1 - b_{nj}), i=1, 2, \dots, 26 \quad (3)$$

定义距离比 $T_i = d_i^- / d_i^+$ 为可靠度, $T_i$ 越大说明第 $i$ 个待评价对象越接近理想序列,同时越远离反理想序列,说明第 $i$ 个待评价对象的可靠性越高。经归一化可得26组数据的可靠度为 $\hat{T}_i$ 。

## 2 LAN/WLAN 集成网络可靠性预测

### 2.1 算法思想

人工智能技术的迅速发展为网络可靠性的预测提供了新的途径。BP 算法已成为目前人工神经网络模型中应用最广泛的一种。由于 BP 算法中用梯度下降法推导出的权值、阈值修正公式,这使得 BP 网络收敛速度慢、易陷入局部极小值。PSO 是基于种群的全局搜索策略,它特有的记忆使其可以动态跟踪当前的搜索情况,调整其搜索策略。所以近年来有许多学者将其应用于优化基本 BP 算法<sup>[6]</sup>,这里利用一种非线性改变惯性权重的 PSO 算法<sup>[7]</sup>替代传统 BP 算法的梯度下降法,BP 网络中权值、阈值的修正按照改进后 PSO 中的粒子速度、位置修正公式来修正,形成一种改进 PSO-BP 融合算法。惯性权重公式为

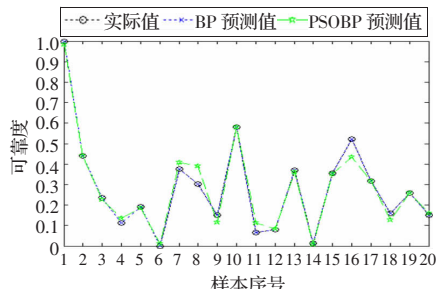


图2 两种方法对实验1训练集的拟合结果

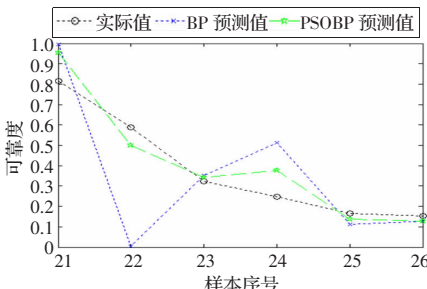


图3 两种方法对实验1检验集的预测结果

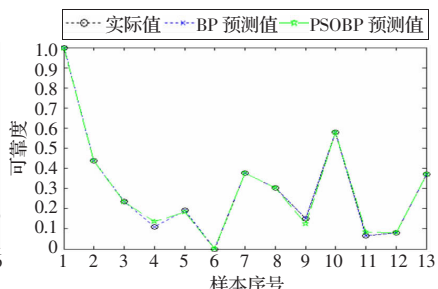


图4 两种方法对实验2训练集的拟合结果

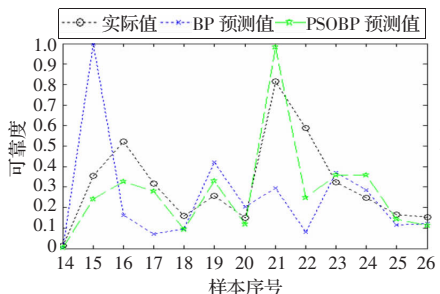


图5 两种方法对实验2检验集的预测结果

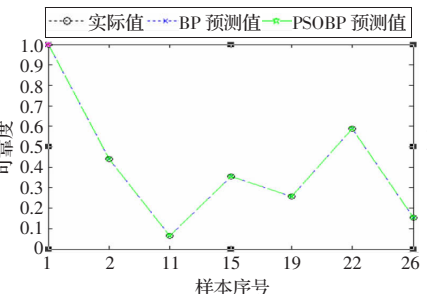


图6 两种方法对实验3训练集的拟合结果

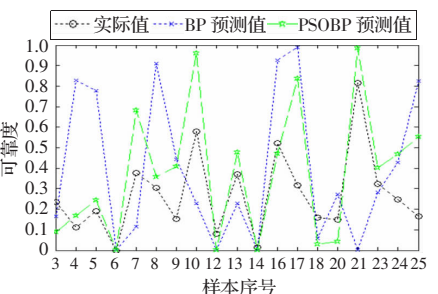


图7 两种方法对实验3检验集的预测结果

$$\omega(t) = \left(\frac{t-1}{T_0-1}\right)^{\lambda} (\omega_f - \omega_i) + \omega_i, \text{ 其中 } t \text{ 为当前进化代数, } \lambda \text{ 为非线性}$$

指数,  $T_0$  为最大进化代数,  $\omega_i$  为初始惯性权值,  $\omega_f$  为终止惯性权重。

## 2.2 实验设计

实验过程分为三组, 每组实验都把所有的样本分成两部分, 一部分作为训练集建立模型, 另一部分作为检验集来评价模型的效果。实验1训练样本数较多, 检验样本数较少, 目的是为了评价预测模型的精度; 实验2和实验3训练样本较少, 检验样本较多, 其中实验3的训练样本是随机选取的, 目的是为了评价预测模型的小样本性能(见表2)。

表2 实验分组

| 实验序号 | 训练集样本序号            | 检验集样本序号   |
|------|--------------------|---|
| 1    | 1~20               | 21~26   |
| 2    | 1~13               | 14~26   |
| 3    | 1,2,11,15,19,22,26 | 3,4,5,6,7,8,9,10,12,13,14,16,17,18,20,21,23,24,25 |

取节点数、链路数、链路可靠度、时延作为模型输入, 可靠度作为模型输出。经多次仿真比较粒子种群规模为55, 参数集为 $\{\lambda, \omega_i, \omega_f, T_0\} = \{0.2, 0.9, 0.3, 100\}$ 时, 结果最优。

## 2.3 实验结果及分析

为了比较改进PSO-BP融合算法的预测效果, 以一个三层BP网络对每组实验进行对比。图2、图4、图6分别为两种方法对实验1、实验2、实验3训练集的拟合结果比较, 图3、图5、图7分别为两种方法对实验1、实验2、实验3检验集的预测结果比较。

对于两种方法, 随着训练样本数减少, 对检验集预测结果的均方误差均逐渐增加。这是因为随着训练样本数的减少, 所建模型包含的信息量有所减少, 失去了原本的许多规律, 所以对检验集的预测精度下降; 但融合算法对于检验集的预测结果均方误差增加速度明显低于BP神经网络方法, 这说明融合算法对样本数量的依赖程度比BP神经网络低。

表3 两种方法对三组实验训练集的拟合误差和检验集的预测误差比较

|     | BP 网络   | 改进 PSO-BP 融合算法 |
|-----|---------|----------------|
| 实验1 | 训练集拟合误差 | 5.557 75E-10   |
|     | 检验集预测误差 | 0.073 958      |
| 实验2 | 训练集拟合误差 | 1.573 14E-9    |
|     | 检验集预测误差 | 0.090 080      |
| 实验3 | 训练集拟合误差 | 3.143 66E-8    |
|     | 检验集预测误差 | 0.173 622      |

## 3 结束语

首先利用IxChariot 6.0对实际网络进行了在线性能参数测试; 然后从业务性能的角度给出了LAN/WLAN集成网络可靠性的定义, 并利用熵权双基法对其进行可靠性评估; 最后利用一种新的改进PSO-BP融合算法建立了可靠性预测模型, 基于可靠度评估值设计了三组实验, 结果证明了该模型在LAN/WLAN集成网络可靠性预测精度方面的优越性。

## 参考文献:

- [1] 戴伏生, 李金鑫, 宋立众. 通信网的总容量归一化加权可靠性指标与算法[J]. 哈尔滨工业大学学报, 2005, 37(5): 614-618.
- [2] 宋才胜. 基于Petri网的通信网络可靠性评估建模仿真[J]. 计算机仿真, 2004, 21(8): 98-101.
- [3] 王芳, 侯朝桢. 一种用神经网络估计网络可靠性的方法[J]. 北京理工大学学报, 2003, 23(2): 190-193.
- [4] Rocco C M, Moreno J A. Fast Monte Carlo reliability evaluation using support vector machine[J]. Reliability Engineering and System Safety, 2002, 76(3): 237-243.
- [5] 梁雄健, 孙青华. 通信网可靠性管理[M]. 北京: 北京邮电大学出版社, 2004.
- [6] Gao Hai-bing. Particle swarm optimization based algorithm for neural network learning[J]. Acta Electronica Sinica, 2004, 32(9): 1572-1574.
- [7] 王丽, 王晓凯. 一种非线性改变惯性权重的粒子群算法[J]. 计算机工程与应用, 2007, 43(4): 47-48.